

مقایسه کاربرد شبکه عصبی مصنوعی، درخت تصمیم، رگرسیون مؤلفه‌های اصلی و رگرسیون خطی چندگانه در مدل‌سازی شاخص کیفیت هوای شهری

علیرضا حسن زاده^{۱*}، فرهاد نژادکورکی^۲، علی طالبی^۳

۱. کارشناس ارشد مهندسی محیط زیست، گروه محیط زیست، دانشگاه یزد

۲. دانشیار گروه مهندسی محیط زیست، گروه محیط زیست، دانشگاه یزد

۳. دانشیار گروه مهندسی آبخیزداری، گروه آبخیزداری، دانشگاه یزد

تاریخ پذیرش مقاله: ۱۳۹۵/۰۸/۰۱

تاریخ وصول مقاله: ۱۳۹۴/۰۹/۱۷

چکیده

شاخص کیفیت هوای ابزاری کلیدی برای آگاهی از کیفیت هوای نحوه اثر آلودگی هوا بر سلامت و روش‌های محافظتی در برابر آلودگی هواست. هدف اصلی این تحقیق مدل‌سازی و برآورد شاخص کیفیت هوای از طریق شبکه عصبی مصنوعی، درخت تصمیم، رگرسیون خطی چندگانه و رگرسیون مؤلفه‌های اصلی است. از دو روش سازمان حفاظت محیط زیست آمریکا و مرکز سلامت و محیط کار ایران برای محاسبه شاخص کیفیت هوای از داده‌های هواشناسی و آلودگی هوای ثبت شده در ایستگاه تحریش و قلهک شهر تهران در دوره زمانی ۱۳۸۵ تا ۱۳۹۰ به منظور توسعه مدل‌ها و بهمنظور ارزیابی عملکرد مدل‌های برآوردگر از شاخص‌های آماری خط، همبستگی و صحت استفاده شد. نتایج تحقیق نشان داد که مدل شبکه عصبی در هر دو ایستگاه نسبت به سایر مدل‌ها از عملکرد بهتری برخوردار است، به نحوی که در ایستگاه قلهک IA=۰/۰۹، MAE=۰/۰۰۴، RMSE=۰/۰۰۶ و در ایستگاه تحریش IA=۰/۰۰۴، MAE=۰/۰۰۴، RMSE=۰/۰۰۴ است. مدل درخت تصمیم بعد از مدل شبکه عصبی عملکرد مطلوبی از خود نشان داد و مدل رگرسیون خطی چندگانه بعد از مدل شبکه عصبی و درخت تصمیم عملکرد بهتری نسبت به مدل رگرسیون مبتنی بر تحلیل مؤلفه‌های اصلی ارائه کرد. روش تحلیل مؤلفه‌های اصلی علی‌رغم آنکه توانست همبستگی بین داده‌های ورودی و تعداد پارامترهای ورودی به مدل را کاهش دهد، باعث بهبود عملکرد مدل رگرسیون نشد.

کلیدواژه

شاخص کیفیت هوای شبکه عصبی مصنوعی، درخت تصمیم، رگرسیون مؤلفه‌های اصلی، مدل‌سازی.

۱. سرآغاز

وجود دارد. شاخص‌های سنجش کیفیت هوای طور گسترده در طرح‌های کنترل کیفیت هوای استفاده می‌شود. این شاخص‌ها کیفیت هوای را بر حسب میزان آلودگی و آلاینده‌های مختلف طبقه‌بندی می‌کند.

اولین شاخص سنجش کیفیت هوای شاخص آلودگی هوای (PSI) نام دارد، که سازمان حفاظت محیط زیست آمریکا^۱ (US-EPA) توسعه داد. این شاخص غلظت آلاینده‌های اصلی هوای نظیر کربن مونوکسید (CO)، دی‌اکسید گوگرد (SO₂)، ذرات معلق کوچک‌تر از ده

آلودگی هوای شهری یکی از نگرانی‌های روزافزون جهانی است، زیرا تأثیرهای بسزایی بر محیط‌زیست، آب و هوا و سلامت عمومی دارد (Li et al., 2014). افزایش نرخ شهرنشینی و صنعتی شدن در شهرهای کشورهای توسعه‌یافته و در حال توسعه مثل تهران، منجر به افزایش سطح آلودگی هوای شده است. همچنین، نگرانی جهانی در مورد آثار آلودگی هوای بر سلامتی انسان افزایش یافته است. راهبردهای مختلفی برای کنترل و مدیریت آلودگی هوای

روش انتخاب متغیرهای تصادفی به منظور پیش‌بینی کیفیت هوای شهری (Russo et al., 2013)، پیش‌بینی غلظت روزانه مونوکسید کربن با استفاده از روش رگرسیون خطی چندگانه براساس تحلیل مؤلفه‌های اصلی، همچنین استفاده از شبکه عصبی (نوری و همکاران، ۱۳۸۷) و پیش‌بینی و مدل‌سازی غلظت آلاینده مونوکسید کربن با تلفیق شبکه عصبی- فازی تطبیقی و سیستم اطلاعات جغرافیایی (خراعی و همکاران، ۱۳۹۱). نتایج اکثر این تحقیقات حاکی از برتری مدل‌های هوش محاسباتی نسبت به مدل‌های آماری است.

یکی از بهترین روش‌ها که در زمینه تعیین کیفیت هوای امروزه در سراسر دنیا استفاده می‌شود، تبدیل غلظت آلاینده‌ها به شاخص کیفیت هواست. در واقع، AQI شاخص مفیدی برای آگاهی از کیفیت هوای، میزان اثر آلاینده‌ها بر سلامت و روش‌های مختلف کنترلی در برابر آلودگی هوای را مشخص می‌کند (Lee et al., 2012). یکی از اقدام‌های مؤثر در کنترل، پایش و وضع اقدام‌های احتیاطی و پیشگیرانه در مواردی که کیفیت هوای نامطلوب و آلودگی از حد استاندارد فراتر می‌رود، تعیین میزان واقعی غلظت آلاینده‌ها و توصیف وضعیت کیفیت هوای در مقایسه با شرایط استاندارد و اطلاع‌رسانی به موقع به مردم است (Zhang et al., 2012). یکی از ایزارهای مناسب در انجام این راهبرد استفاده از AQI است که تلاش می‌کند تا اطلاعات مربوط به کیفیت هوای را در سطوح بهداشتی خوب، متوسط، غیربهداشتی برای افراد حساس، غیربهداشتی، ناسالم و خطرناک به مردم آگاهی دهد (Cheng et al., 2007). کیفیت نامطلوب هوای ناشی از وجود غلظت‌های زیاد آلاینده‌ها در کلان‌شهر تهران، موجب ایجاد بیماری‌های مختلف و مشکلات فراوان برای سلامتی و رفاه عمومی این کلان‌شهر شده است. از این‌رو، برآورد و مدل‌سازی کیفیت هوای شهری و دارای ماهیت غیرخطی، همچنین تعیین عناصر مؤثر بر آن از ضروری‌ترین برنامه‌های محیط‌زیستی در کلان‌شهرهاست (Kumar and Goyal, 2013).

میکرون (PM₁₀), ازن (O₃) و دی‌اکسید نیتروژن (NO₂) را به شاخص استاندارد آلودگی هوا تبدیل می‌کند. در سال ۱۹۹۹ US-EPA PSI را کامل‌تر کرد و شاخصی به نام شاخص کیفیت هوای (AQI) جایگزین آن شد (Sowlat et al., 2011).

امروزه، پیش‌بینی و برآورد مشخصه‌های کیفیت هوای در نواحی شهری به دلیل تأثیر آن بر سلامتی انسان، یکی از موضوع‌های مهم در تحقیقات محیط‌زیستی است. غلظت‌های زیاد آلاینده‌ها، تأثیرهای سوء و مرگ زودرس گروههای حساس و آسیب‌پذیر جامعه را به دنبال دارد، از جمله افراد مسن و کسانی که به تنگی نفس دچارند (صدرموسی و همکاران، ۱۳۸۹). برای مدل‌سازی و برآورد مشخصه‌های کیفیت هوای، به طور کلی، سه دسته مدل وجود دارد. دسته اول مدل‌های پیش‌ساخته، دسته دوم مدل‌های آماری و دسته سوم مدل‌های هوش محاسباتی است (Zhang et al., 2012). مدل‌های هوش محاسباتی شامل شبکه‌های عصبی مصنوعی^۳ (ANN) و درختان تصمیم^۴ (DT) است. مدل‌های این دسته در مدل‌سازی Zhang et al., 2012) سیستم‌های غیرخطی از قابلیت بالایی دارد (.

از نمونه مطالعاتی که از روش‌های هوش مصنوعی و آماری در پیش‌بینی و مدل‌سازی پارامترهای کیفیت هوای به کار برده شده می‌توان به موارد زیر اشاره کرد: استفاده از روش تحلیل مؤلفه‌های اصلی^۵ و استفاده از شبکه عصبی مصنوعی در پیش‌بینی شاخص روزانه کیفیت هوای Kumar and Goyal, 2013)، استفاده از سیستم استنتاج فازی^۶ و مدل اتورگرسیو^۷ به منظور ارزیابی و پیش‌بینی کیفیت هوای Carbajal-Hernández et al., 2012) خطی چندگانه^۸ مبتنی بر تحلیل مؤلفه‌های اصلی برای پیش‌بینی کوتاه‌مدت شاخص کیفیت هوای (Kumar and Goyal 2011)، کاربرد الگوریتم یادگیری جمعی^۹ برای شناسایی منابع آلاینده هوای و مقدار شاخص کیفیت هوای (Singh et al., 2013)، کاربرد شبکه عصبی مصنوعی و

ازن، دی اکسید گوگرد، مونوکسید نیتروژن، هیدروکربن‌های بدون متان (NMHC) و متان (CH_4). همچنین، شامل برخی پارامترهای هواشناسی است، نظیر سرعت باد (WS)، جهت باد (WD)، دمای هوا (T)، فشار (P) و رطوبت هوا (H). داده‌های موجود مربوط به دوره زمانی ۱۳۸۵ تا ۱۳۹۰ است.

۲.۰.۲. شاخص کیفیت هوا

مدیریت پایش و نظارت بر کیفیت هوا در شهرهای بزرگ داده‌های خام اندازه‌گیری شده با دستگاه‌های سنجش غلظت آلاینده‌های هوا را به AQI تبدیل می‌کند. اطلاعات مورد نیاز مربوط به سطوح سلامتی انسان و آثار بهداشتی آلاینده‌های هوا را شاخص AQI در اختیار مردم قرار می‌دهد. AQI برای پنج آلاینده اصلی هوا - یعنی ذرات معلق، دی اکسید نیتروژن، ازن سطح زمین، مونوکسید کربن و دی اکسید گوگرد - محاسبه می‌شود (Zhang et al., 2012).

به منظور محاسبه این شاخص از معادله (۱) استفاده می‌شود که غلظت آلاینده‌ها و نقاط شکست در محاسبه طبقه کیفیت هوا مطابق با دستورالعمل مرکز سلامت و محیط کار ایران است. US-EPA به منظور درک راحت‌تر مقدار شاخص کیفیت هوا و سطوح بهداشتی مختلف با آن، همچنین دستورالعمل‌های کنترلی مربوط با مقادیر مختلف را به شش دسته طبقه‌بندی می‌کند و هر دسته را به سطوح مختلف سلامت انسان مربوط می‌سازد (جدول ۱).

$$IP = \frac{I_{Hi} - I_{Lo}}{BP_{Hi} - BP_{Lo}} (C_p - BP_{Lo}) + I_{Lo} \quad (1)$$

$IP =$ شاخص کیفیت هوا برای آلاینده P , $C_p =$ غلظت اندازه‌گیری شده آلاینده P , BP_{Hi} = نقطه شکستی و بزرگ‌تر یا مساوی C_p , BP_{Lo} = نقطه شکست کوچک‌تر یا مساوی $AQI =$ مقدار I_{Hi} , C_p متنطبق با BP_{Lo} .

2013). لذا، هدف اصلی این تحقیق مقایسه کارایی استفاده از روش شبکه عصبی مصنوعی، درخت تصمیم، رگرسیون خطی چندگانه و رگرسیون مؤلفه‌های اصلی در مدل‌سازی و برآورد شاخص کیفیت هوای شهری است.

۲. مواد و روش‌ها

در این تحقیق، از داده‌های ساعتی غلظت آلاینده‌های هوا و پارامترهای هواشناسی مربوط به ایستگاه‌های تجربیش و AQI قلهک شهر تهران در برآورد و مدل‌سازی شاخص US-EPA و مرکز سلامت و محیط کار ایران در محاسبه شاخص کیفیت هوا براساس غلظت‌های ساعتی مربوط به تک‌تک آلاینده‌های است. در مرحله بعد، با استفاده از سری‌های زمانی مربوط به داده‌های هواشناسی، آلودگی هوا و میزان AQI محاسبه شد. به منظور ایجاد و توسعه مدل‌های برآوردگر و شبیه‌ساز کیفیت هوا با استفاده از روش‌های درخت تصمیم، رگرسیون مؤلفه‌های اصلی، رگرسیون خطی چندگانه و شبکه عصبی مصنوعی از نرم‌افزار MATLAB استفاده شده است. در اولین مرحله، غلظت تک‌تک آلاینده‌ها و رودی الگوریتم محاسبه AQI بود. خروجی این الگوریتم که شاخص کیفیت هوا مربوط به هر آلاینده و شاخص کلی کیفیت هواست، همراه با داده‌های هواشناسی برای توسعه مدل‌ها استفاده شد. هدف نهایی، شبیه‌سازی و برآورد شاخص کیفیت هوا در ایستگاه‌های مورد مطالعه در شهر تهران است. در آخر مقایسه‌ای بین مدل‌های به کار رفته در تحقیق صورت گرفته است و مدل دارای نتایج بهتر به منظور برآورد و شبیه‌سازی معرفی می‌شود.

۲.۱.۰. داده‌های تحقیق

داده‌های مورد استفاده در تحقیق شامل غلظت‌های ساعتی مربوط به آلاینده‌های هواست، شامل مونوکسید کربن، ذرات معلق کوچک‌تر از ۱۰ میکرون، اکسیدهای نیتروژن،

جدول ۱. نقاط شکست در محاسبه AQI

نقاط شکست							$\text{AQI}_{\text{I}_{\text{Lo}}-\text{I}_{\text{Hi}}}$	
$\text{BP}_{\text{L}_0}-\text{BP}_{\text{H}_i}$								
$\text{O}_3^{(1)}$ (ppm) ساعته ۸	O_3 (ppm) ساعته ۱	$\gamma_{\text{d}}\text{PM}$ ($\mu\text{g}/\text{m}^3$) ساعته ۲۴	PM_{10} ($\mu\text{g}/\text{m}^3$) ساعته ۲۴	CO (ppm) ساعته ۸	SO_2 (ppm) ساعته ۲۴	NO_2 (ppm) ساعته ۱		
۰-۰/۰۵۹	-	۰/۰-۱۵/۴	۰-۵۴	۰/۰-۴/۴	۰/۰-۰/۰۳۴	۰-۰/۰۵۳	۰-۵۰	
۰/۰۶۰-۰/۰۷۵	-	۱۵/۵-۳۵	۵۵-۱۰۴	۴/۵-۹/۴	۰/۰۳۵-۰/۱۴۴	۰/۰۵۴-۰/۱	۵۱-۱۰۰	
۰/۰۷۶-۰/۰۹۵	۰/۱۲۵-۰/۱۶۴	۳۵/۱-۶۵/۴	۱۵۵-۲۵۴	۹/۵-۱۲/۴	۰/۱۴۵-۰/۲۲۴	۰/۱۰۱-۰/۲۶۰	۱۰۱-۱۵۰	
۰/۰۹۶-۰/۱۱۵	۰/۱۶۵-۰/۲۰۴	۶۵/۵-۱۵۰/۴	۲۵۵-۳۵۴	۱۲/۵-۱۵/۴	۰/۲۲۵-۰/۳۰۴	۰/۳۶۱-۰/۶۴۰	۱۵۱-۲۰۰	
۰/۱۱۶-۰/۳۷۴	۰/۲۰۵-۰/۴۰۴	۱۵۰/۵-۲۵۰/۴	۳۵۵-۴۲۴	۱۵/۵-۳۰/۴	۰/۳۰۵-۰/۶۰۴	۰/۶۵-۱/۲۴	۲۰۱-۳۰۰	
(۲)		۰/۴۰۵-۰/۵۰۴	۲۵۰/۵-۳۵۰/۴	۴۲۵-۵۰۴	۳۰/۵-۴۰/۴	۰/۶۰۵-۰/۸۰۴	۱/۲۵-۱/۶۴	
		۰/۵۰۵-۰/۶۰۴	۳۵۰/۵-۵۰۰/۴	۵۰۵-۶۰۴	۴۰/۵-۵۰/۴	۰/۸۰۵-۱/۱۰۴	۱/۲۶-۲/۰۴	
							۴۰۱-۵۰۰	

۱. در بیشتر مناطق AQI بر اساس مقادیر ازن ۸ ساعته گزارش می‌شود اما در برخی مناطق AQI بر اساس مقادیر ازن ۱ ساعته به احتیاط نزدیک‌تر است. در این شرایط AOI هم برای مقادیر ازن ۸ ساعته و هم برای ازن ۱ ساعته محاسبه و هر کدام بیشتر بود گزارش می‌شود.
۲. وقتی غلظت ازن ۸ ساعته از $۰/۳۷۴ \text{ ppm}$ فراتر رود، مقادیر AQI بیش از ۳۰۰ باشد با استفاده از غلظت ازن ۱ ساعته محاسبه شود.

(Fausett, 1994). طی سال‌های اخیر، شبکه عصبی پرسپترون چندلایه به خوبی قابلیتش را در مدل‌سازی و پیش‌بینی پارامترهای متفاوت اتمسفر از جمله آلینده‌ها نشان داده است (Kumar and Goyal, 2013; Singh et al., 2013; Zhang et al., 2012). در این نوع شبکه، داده‌ها به صورت پیوسته و بدون هر گونه بازخوردی به سمت خروجی انتقال می‌یابد (Zhang et al. 2012). فرایند آموزش در شبکه‌های عصبی در واقع به معنای روزآمدکردن اتصالات بین نورون‌هاست. تاکنون الگوریتم‌های گوناگونی برای آموزش شبکه عصبی عرضه شده است که معروف‌ترین آن‌ها الگوریتم و قاعده انتشار به عقب^{۱۰} است (Moustris et al., 2012). برای اصلاح وزن‌ها در شبکه و برای به حداقل رساندن میانگین مربعات خطای از معادله (۳) به دست می‌آید، از راه الگوریتم انتشار به عقب استفاده می‌شود (Zhang et al., 2012).

۳.۲. شبکه عصبی مصنوعی

شبکه‌های عصبی مصنوعی از چندین لایه تشکیل می‌شود. لایه‌های ابتدایی و انتهایی به ترتیب لایه ورودی و لایه خروجی نام دارد. همچنین، بین دو لایه ممکن است یک یا چند لایه مخفی وجود داشته باشد. خروجی هر نورون به صورت معادله (۲) به دست می‌آید.

$$y_i = \sum_{j=1}^n w_{i,j} x_{i,j} + \beta_i \quad (2)$$

که در آن، $x_{i,j}$ سیگنال ورودی از زامین نورون (در لایه ورودی)، $w_{i,j}$ وزن اتصال نورون j به نورون i (در لایه مخفی)، β_i اریبی نورون i و y_i خروجی نورون است. طی فرایند آموزش، این وزن‌ها و مقادیر ثابتی که با آن‌ها جمع می‌شود و در اصطلاح اریبی نامیده می‌شود، به طور پی‌درپی تغییر می‌کند تا خطای از کمترین مقدار خود برسد. پس از محاسبه y_i ، شبکه تحت یک تابع محرک شروع به اصلاح آن می‌کند. تابع محرک نوعاً تابعی خطی یا غیرخطی است

الف) محاسبه فاکتور KMO^1
از آنجا که روش PCA مستلزم وجود و قبول
فرضیهای درباره جامعه مورد مطالعه نیست، از روش‌های
نایاب‌تری است. لازم است امکان استفاده از این روش و
نتایج به دست آمده از آن به وسیله عامل KMO مشخص
شود. مقدار KMO بین صفر تا یک تغییر می‌کند. این عامل
با استفاده از ضرایب همبستگی ساده و جزئی طبق معادله
(۵) محاسبه می‌شود. در معادله (۵) r_{ij} و a_{ij} ضرایب
همبستگی ساده و جزئی بین متغیرهای i و j است. با توجه
به این معادله مقادیر بزرگ‌تر KMO مستلزم کوچک‌بودن
ضرایب همبستگی جزئی و بیانگر دقت محاسبات مربوط،
با استفاده از روش PCA است (Abdul-Wahab et al., 2005).

$$KMO = \frac{\sum_{i=1}^p \sum_{j=1}^p r_{ij}^2}{\sum_{i=1}^p \sum_{j=1}^p r_{ij}^2 + \sum_{i=1}^p \sum_{j=1}^p a_{ij}^2} \quad (5)$$

در صورتی که فاکتور KMO بزرگ‌تر از 0.5 به دست آید، نشان‌دهنده امکان اجرای روش PCA روی متغیرهای مستقل است.

ب) استاندارد کردن متغیرهای ورودی
در این مرحله داده‌های ورودی براساس معادله (۶)
به‌نحوی استاندارد می‌شود که دارای میانگین صفر و
انحراف معیار یک باشد.

$$Z = \frac{X - \mu}{\sigma} \quad (6)$$

در این معادله، Z معادل مقادیر استاندارد شده داده‌ها، X
ماتریس داده‌های ورودی، μ میانگین هر متغیر و σ نیز
مقادیر انحراف معیار برای هر متغیر است.

ج) محاسبه ماتریس همبستگی (R) برای متغیرهای اولیه

این ماتریس که ماتریسی متقابران است، میزان تغییرات
در نمونه و میزان همبستگی N متغیر را با هم نشان می‌دهد.
عضوهای روی قطر اصلی این ماتریس، واریانس متغیرهای

$$MSE = \frac{I}{N} \sum_{n=1}^N (t_i - td_i)^2 \quad (3)$$

N تعداد نورون‌های لایه خروجی و متناسب با تعداد مشاهدات تابع هدف، t_i مقدار مشاهده شده برای آمین رکورد، و td_i مقدار خروجی شبکه برای آمین رکورد است (Yadav and Naresh, 2010). به‌منظور بررسی دقت شبکه آموزش‌یافته لازم است آزمون شبکه صورت گیرد. این کار با دادن زوج داده‌های مجموعه آزمون به شبکه و محاسبه میزان خطای شبکه صورت می‌گیرد. به‌طور کلی، ویژگی‌های شبکه عصبی مصنوعی، ساختار شبکه و روش آموزش شبکه، با نوع تابع محرك نورون‌ها مشخص می‌شود (Zhang et al., 2012). در این تحقیق شبکه عصبی پرسپترون سه‌لایه با الگوریتم‌های آموزش لونبرگ مارکوارت (Lm)، پس‌انتشار ارجاعی (Rb) و شبیه توأم مقیاس شده (Scg) با تابع محرك تائزانت هایپربولیک در لایه پنهان و تابع محرك خطی در لایه خروجی استفاده شده است.

۴.۲. تحلیل مؤلفه‌های اصلی

روش تحلیل مؤلفه‌های اصلی متغیرهای مستقل اولیه را به مؤلفه‌های جدید و مستقل (بدون همبستگی) تبدیل می‌کند. سپس، از این مؤلفه‌ها به جای متغیرهای اولیه استفاده می‌شود. مؤلفه‌های جدید ترکیبی خطی از متغیرهای اولیه است (Çamdevýren et al., 2005). با استفاده از این روش، ترکیباتی از n متغیر X_1, X_2, \dots, X_n برای ایجاد n مؤلفه مستقل PC_1, PC_2, \dots, PC_n برقرار می‌شود. در این روش اطلاعات متغیرهای اصلی با کمترین تلفات در مؤلفه‌ها محفوظ می‌ماند. هر مؤلفه اصلی با دنباله زیر مشخص می‌شود.

$$PC_i = a_{i1}X_1 + a_{i2}X_2 + \dots + a_{in}X_n \quad (4)$$

که در آن PC_i معرف مؤلفه مورد نظر، a_{ij} بردار ویژه مربوط و X_i نیز متغیرهای مستقل اولیه است. روش کار برای ایجاد مؤلفه‌های اصلی به صورت زیر است.

که در آن β ماتریس ضرایب رگرسیون، α ماتریس خطای برازش و Y نیز ماتریس پاسخ است. با حل معادله (۸) بر حسب β خواهیم داشت:

$$\beta = (X' X)^{-1} (X' Y) \quad (9)$$

که در آن X' ترانهاده ماتریس X است. برای محاسبه معکوس $(X' X)$ لازم است متغیرهای مستقل همبستگی زیادی نداشته باشند، زیرا در این صورت ماتریس $(X' X)$ را نمی‌توان معکوس کرد و باعث افزایش خطای اثر گردکردن داده‌ها و محاسبات می‌شود. برای رفع این مشکل باید قبل از ساخت مدل رگرسیونی، همبستگی بین متغیرهای مستقل را از بین برد. در این خصوص، روش مناسب استفاده از تحلیل مؤلفه‌های اصلی روی متغیرهای مستقل ورودی به مدل است. معیار قضاوت برای رفع این مشکل با اجرای تحلیل مؤلفه‌های اصلی روی متغیرهای ورودی، فاکتور تورم واریانس است. عدد ایده‌آل برای فاکتور تورم واریانس ۱ و مقادیر بزرگ‌تر از ۱۰ برای تورم واریانس نشانه ناپایداری مدل رگرسیونی است (Chatterjee and Hadi, 2015).

در این تحقیق پس از رفع مشکل هم‌خطی بین متغیرهای مستقل به روش تحلیل مؤلفه‌های اصلی، مدل رگرسیون چندگانه برای مدل‌سازی و برآورد شاخص کیفیت هوا توسعه یافت.

۶.۲. درخت تصمیم

درختان تصمیم قادر به تولید توصیفات قابل درک برای انسان، از روابط موجود در مجموعه داده‌ای است و برای وظایف دسته‌بندی و پیش‌بینی به کار می‌رود. این ساختار تصمیم‌گیری به شکل تکنیک‌های ریاضی و محاسباتی نیز معرفی می‌شود که به توصیف، دسته‌بندی و عام‌سازی مجموعه‌ای از داده‌ها کمک می‌کند. داده‌ها در رکوردهایی به شکل $(y, (x_1, x_2, x_3, \dots, x_k))$ داده می‌شود. با استفاده از متغیرهای x_1, x_2, \dots, x_k سعی در درک، دسته‌بندی یا عام‌سازی متغیر وابسته y داریم. انواع صفات در درخت

وروودی و بقیه درایه‌های این ماتریس، کوواریانس بین متغیرهای ورودی است. چون برای تشکیل این ماتریس از داده‌های استانداردشده استفاده شده است، به همین دلیل این ماتریس، معادل ماتریس همبستگی بین متغیرهای ورودی است.

د) محاسبه مقادیر ویژه (λ) و بردارهای ویژه مربوط از ماتریس همبستگی بدین منظور معادله (۷) حل می‌شود.

$$|R - \lambda I_p| = 0 \quad (7)$$

I_p ماتریس واحد با بعد $p \times p$ است. بنابراین، می‌توان مقدار ویژه مرتب شده $\lambda_1 \geq \lambda_2 \geq \dots \geq \lambda_p$ را به دست آورد، به طوری که مجموع مقادیر ویژه برابر p باشد. هر مقدار ویژه با اطلاعات مربوط به آن (بردارهای ویژه) ویژگی‌های یک مؤلفه را ارائه می‌دهد. هر مؤلفه نیز درصدی از اطلاعات بیان شده متغیرهای اولیه را دربرمی‌گیرد و معادل با بخشی از اطلاعات مسئله است (Jolliffe, 2002). اولین مؤلفه بیشترین واریانس و آخرین آن کمترین مقدار واریانس را نشان می‌دهد. انتخاب چند مؤلفه اول بیشترین مقدار واریانس و مؤلفه‌های اصلی شناخته می‌شود (Çamdevyren et al., 2005).

ه) اجرای چرخش وریماکس^{۱۲} روی ماتریس ضرایب مؤلفه‌ها

چون در تشکیل هر مؤلفه از تمام متغیرهای اولیه استفاده می‌شود، تفسیر مؤلفه‌ها مشکل خواهد بود. به این دلیل روش‌هایی برای تفسیر ساده‌تر مؤلفه‌ها به وجود آمده است (Jolliffe, 2002؛ نوری و همکاران ۱۳۸۷).

۵.۲. رگرسیون خطی چندگانه

رگرسیون چندگانه روشی است که برای ارتباط خطی بین یک متغیر وابسته و یک یا چند متغیر مستقل استفاده می‌شود (Rawlings et al., 1998). مدل ماتریسی رگرسیون چندگانه را می‌توان به صورت معادله (۸) نشان داد.

$$Y = X\beta + e \quad (8)$$

این شاخص به صورت ساعتی در محیط نرم افزار MATLAB محاسبه و پارامتر هدف در مدلها استفاده شد. در این پژوهش ۸۰ درصد کل داده ها برای آموزش و ۲۰ درصد داده ها برای آزمون مدلها استفاده شده است. تقسیم بندی داده ها به صورت تصادفی و بعد از حذف داده های گمشده و پرت انجام شد.

۸.۲ ارزیابی اعتبار مدل ها

برای ارزیابی عملکرد مدل ها و مقایسه نتایج به دست آمده در مراحل آموزش و آزمون از شاخص های آماری نظری شاخص صحبت (IA)، بایاس (FB)، جذر میانگین مربعات خطأ (RMSE)، میانگین خطای مطلق (MAE)، میانگین مربعات خطأ (MSE)، ضریب همبستگی (R) و ضریب تبیین (R^2) استفاده شده است (معادله های ۱۲-۱۸).

(۱۲)

$$IA = 1 - \frac{\sum_{i=1}^N (P_i - O_i)^2}{\sum_{i=1}^N (|P_i - \bar{O}| + |O_i - \bar{O}|)^2}$$

$$FB = 1/N \sum_{i=1}^N P_i - O_i / (P_i + O_i) / 2$$

$$RMSE = (1/N \sum_{i=1}^N (P_i - O_i)^2)^{0.5}$$

$$MAE = 1/N \sum_{i=1}^N |P_i - O_i|$$

$$MSE = 1/N \sum_{i=1}^N (P_i - O_i)^2$$

(۱۷)

$$R = \frac{\sum_{i=1}^N (P_i - \bar{O})^2 - \sum_{i=1}^N (P_i - O_i)^2}{\sum_{i=1}^N (P_i - \bar{O})^2}$$

$$R^2 = (R)^2$$

N تعداد کل داده ها، P_i مقادیر پیش بینی شده، O_i مقادیر مشاهده یا محاسبه شده، و \bar{O} میانگین مقادیر مشاهده یا محاسبه است.

تصمیم به دو نوع صفات دسته ای و صفات حقیقی است. صفات دسته ای، صفاتی است که دو یا چند مقدار گستته می پذیرد (یا صفات سمبیلیک)، در حالی که صفات حقیقی مقادیر خود را از مجموعه اعداد حقیقی می گیرد (Breiman et al., 1993). درخت CART^{۱۳} نامی است که به هر دو روال بالا اطلاق می شود. نام CART سرنام کلمات درختان رگرسیون و دسته بندی است. در این تحقیق از الگوریتم درخت تصمیم CART برای مدل سازی و برآورد شاخص کیفیت هوا استفاده شده است. ساختار این درخت بر سه اصل استوار است:

۱. مجموعه ای از سؤال ها به شکل $x \leq d?$ که در آن x متغیر مستقل و d مقدار ثابت و جواب هر سؤال بله/خیر است.

۲. بهترین معیار شاخه زدن در انتخاب بهترین متغیر مستقل برای ایجاد شاخه جدید. در این تحقیق از روش انحراف حداقل مربعات^{۱۴} برای ایجاد درخت رگرسیونی استفاده شد (معادله ۱۰).

$$SS(t) = \sum_{i=1}^{Ntt} (y_i(t) - \check{y}(t))^2 \quad (10)$$

Ntt تعداد رکوردها (داده ها) در گره برگ t ، $y_i(t)$ مقدار خروجی (متغیر هدف در گره برگ)، و $\check{y}(t)$ میانگین مقادیر متغیر هدف برای همه گره هاست.

حال متغیر ورودی S زمانی بهترین متغیر برای ایجاد شاخه در گره t است که مقدار $Q(s,t)$ را بیشینه کند.

$$Q(s,t) = ss(t) - ss(t R) - SS(t L) \quad (11)$$

که در آن (R, L) به ترتیب میزان $ss(t)$ در شاخه سمت راست و سمت چپ گره t است.

۳. ایجاد آمار خلاصه برای گره انتهایی (Breiman et al., 1993؛ امیدوار و همکاران، ۱۳۹۳).

۷.۲ ورودی و خروجی مدل ها

در این تحقیق از داده های ساعتی آلاینده های هوا و پارامتر های هواشناسی ساعتی به عنوان ورودی مدل ها در مراحل آموزش و آزمون استفاده شد. همچنین، خروجی تمامی مدل ها مقدار شاخص کیفت هوا در نظر گرفته شد.

شهری در دو ایستگاه پایش کیفیت هوای قلهک و تجریش ارائه شده است.

نتایج حاصل از بررسی آماری داده‌های ایستگاه قلهک در جدول ۲ و ایستگاه تجریش در جدول ۳ و در ادامه نتایج حاصل از مدل‌سازی و برآورد شاخص کیفیت هوای

۳. نتایج و یافته‌ها

جدول ۲. مشخصات آماری هر یک از پارامترهای ایستگاه قلهک

WS	WD	Temp	Press	HUM	THC	CH ₄	NO	O ₃	CO	SO ₂	NO ₂	PM ₁₀	نام پارامتر
m/s	Deg	DegC	mBar	%RH	ppm	ppm	ppm	ppm	ppm	ppm	ppm	ug/m3	واحد
۰/۰۰۳	۰/۰	-۷/۶۲۹	۴۰۳/۹	۰/۳۷	۰/۰۰۱	۰/۰۰۱	۰/۰۰۱	۰/۰۰۱	۰/۰۱۸	۰/۰۰	۰/۰۰۱	۰/۰۰	حداقل
۴/۵	۳۲۵/۷	۳۹/۵۱	۹۵۷/۶	۹۵/۳۴	۱۷/۲۳	۴/۷۹۰	۰/۳۸۶	۰/۰۵۰	۹/۰۹۲	۰/۰۸	۰/۴۲۸	۳۱۶/۸	حداکثر
۰/۹۰	۱۱۶/۳	۱۸/۲۸	۸۷۳/۹	۴۴/۳۳	۳/۵۳	۲/۱۱۲	۰/۰۸۸	۰/۰۱۵	۳/۵۵	۰/۰۳۸	۰/۱۲۰	۸۹/۶۹	میانگین
۰/۹۷	۰/۰۶	-۰/۲۴	-۲/۲۴	۰/۳۲	۰/۹۷	۰/۰۴۴	۱/۰۲	۱/۲۱	۰/۰۶۲	۰/۰۵	۱/۲۴	۱/۳۹	چولگی
۱/۱۳	-۱/۳۱	-۰/۷۸	۲۱/۷	-۰/۶۳	۲/۹	-۰/۱۹	۰/۷۹	۰/۸۸	۰/۲۰	۰/۲۳	۱/۶۵	۲/۰۵	کشیدگی

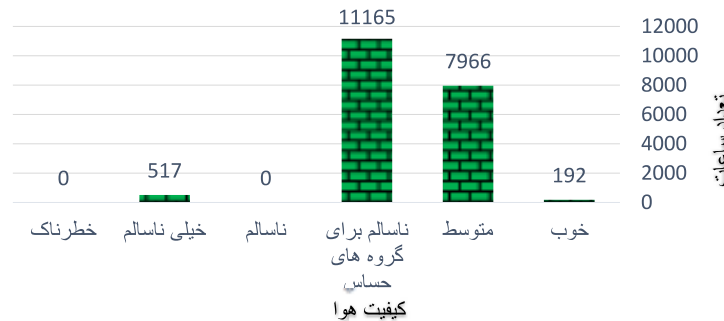
جدول ۳. مشخصات آماری هر یک از پارامترهای ایستگاه تجریش

WS	WD	Temp	Press	HUM	NMHC	THC	NOx	CO	SO ₂	NO ₂	PM ₁₀	نام پارامتر
m/s	Deg	DegC	mBar	%RH	ppm	ppm	ppm	ppm	ppm	ppm	ug/m3	واحد
۰/۰۰۱	۰/۰	-۹/۹۷	۴۱۲/۳	۲/۷۶	۰/۰۱۵	۰/۰۱۷	۰/۰۰۱	۰/۰۰۱	۰/۰۰۱	۰/۰	۰/۰	حداقل
۱۷/۰۹	۳۵۵	۶۱/۲۱	۸۴۷/۸	۹۹/۸۵	۸/۹۲	۱۴/۹۴	۰/۲۹	۱۳/۴۴	۰/۰۵۴	۰/۲۴	۵۱۵	حداکثر
۱/۰۵	۲۱۳/۶۵	۱۹/۲	۸۲۳	۳۴/۷	۲/۰۱	۵/۴	۰/۰۶	۴/۰۱	۰/۰۱۷	۰/۰۴	۱۱۷/۵	میانگین
۲/۶۵	-۰/۲۲	۰/۳۴	-۱۶/۷	۱/۲۶	۰/۹۷	۰/۲۳	۱/۱۷	۰/۰۸۵	۰/۰۶۴	۱/۳۶	۱/۴	چولگی
۳۹/۳	-۰/۱۱	۰/۶۶	۲۸۵/۵۸	۰/۹۶	۱/۶۵	۰/۰۴	۱/۴۴	۰/۰۳	۰/۰۷۶	۳/۳۶	۴	کشیدگی

اصلی آن حجم ترافیک بیشتر خودروها، جمعیت بیشتر و احتراق سوخت در موتور خودروها در محلوده این ایستگاه است. بیشترین طبقه کیفیت هوا در ایستگاه تجریش مربوط به طبقه متوسط با تعداد ساعت ۱۷۵۳۸ و آلاینده مسئول ایجاد کیفیت نامطلوب در اکثر اوقات ذرات معلق کوچکتر از ۱۰ میکرون است.

نتایج تحلیل حاصل از محاسبه شاخص کیفیت هوا در ایستگاه قلهک در شکل ۱ و ایستگاه تجریش در شکل ۲ نشان داده شده است. بیشترین طبقه کیفیت هوا در ایستگاه قلهک مربوط به طبقه ناسالم برای گروههای حساس جامعه با تعداد ساعت ۱۱۱۶۵ و آلاینده مسئول ایجاد کیفیت نامطلوب در اکثر اوقات دی‌اکسید نیتروژن است. عامل

۴. برآورد شاخص کیفیت هوا



شکل ۱. مقدار شاخص و طبقه کیفیت هوای ایستگاه قلهک



شکل ۲. مقدار شاخص و طبقه کیفیت هوای ایستگاه تجربیش

درخت تصمیم قبل از هرس و آزمون بعد از هرس درخت تصمیم ارائه شده است. برای هرس درخت از معیار پیچیدگی استفاده شد و مقدار آن پس از آزمون و خطای انجام شده روی درخت به مقدار $0/003$ در تعیین بهترین ساختار درخت مشخص شد. نتایج به دست آمده حاکی از این است که الگوریتم CART در شیوه‌سازی شاخص کیفیت هوای عملکرد بسیار بالایی دارد، به طوری که همبستگی بین مقادیر شیوه‌سازی شده و مشاهده شده بسیار نزدیک به عدد ۱ است. مقادیر خطای درخت در سه مرحله آزمون و آموزش بسیار ناچیز و مشابه است. مهم‌ترین پارامترهای تأثیرگذار در برآورده AQI در ایستگاه قلهک PM₁₀ با ۱۸/۵ درصد تأثیر و NO₂ با ۳۲/۲ درصد تأثیر است. مهم‌ترین عوامل در برآورده AQI در ایستگاه تجربیش ذرات معلق کوچک‌تر از ۱۰ میکرون با ۴۷ درصد، دی‌اکسید نیتروژن با ۲/۱ و مونوکسید کربن با ۳/۱ درصد تأثیر است.

۲.۳. مدل‌سازی شاخص کیفیت هوای

نتایج مدل‌سازی نشان داد که کارایی روش‌های به کاررفته در تحقیق در برآورد شاخص کیفیت هوای شهری عملکرد متفاوتی دارد. تعداد نمونه‌های ایستگاه قلهک در مرحله آموزش مدل‌ها ۱۵۸۷۲ و در مرحله آزمون ۳۹۶۸ و شامل سیزده پارامتر ورودی و یک پارامتر خروجی است. تعداد نمونه‌های ایستگاه تجربیش در مرحله آموزش ۲۱۳۷۰ و در مرحله آزمون ۵۳۴۳ و شامل دوازده پارامتر ورودی و یک پارامتر خروجی است.

۳.۳. مدل درخت تصمیم

در این قسمت نتایج حاصل از کاربرد الگوریتم CART در مدل‌سازی و برآورد شاخص کیفیت هوای ایستگاه قلهک و تجربیش شهر تهران ارائه شده است. در جدول ۴ مقادیر شاخص‌های آماری حاصل از سه مرحله آموزش، آزمون

جدول ۴. نتایج حاصل از ارزیابی مدل درخت تصمیم

ایستگاه	IA (1)	FB (0)	R ² (1)	MAE (0)	RMSE (0)	MSE (0)	مدل درخت تصمیم
مرحله آموزش	۰/۰۶۷	۰/۲۵۹۳	۰/۰۴۰۸	۰/۹۹۹۹	۰/۹۹۹۹	۰/۰۶۷	مرحله آموزش
مرحله آزمون قبل از هرس	۰/۰۵۶۳	۰/۷۵	۰/۱۰۱۲	۰/۹۹۹۶	۰/۹۹۹۱	۰/۰۵۶۳	مرحله آزمون قبل از هرس
مرحله آزمون بعد از هرس	۱/۷۳	۱/۳۱	۰/۸۸۴	۰/۹۹۸۶	۰/۹۹۷۲	۰/۰۷۳	مرحله آزمون بعد از هرس
مرحله آموزش	۰/۱۹۶۱	۰/۴۴۲۸	۰/۱۱۵۷	۰/۹۹۹۹	۰/۹۹۹۸	۰/۰۱۹۶۱	مرحله آموزش
مرحله آزمون قبل از هرس	۰/۰۴۷۴۴	۰/۶۸۸۸	۰/۱۹۵۱	۰/۹۹۹۸	۰/۹۹۹۶	۰/۰۴۷۴۴	مرحله آزمون قبل از هرس
مرحله آزمون بعد از هرس	۲/۴۲	۱/۸۵	۱/۱۸۴	۰/۹۹۸۴	۰/۹۹۶۸	۰/۰۲۴۲	مرحله آزمون بعد از هرس

اعداد داخل پرانتز مقادیر ایده‌آل هر شاخص را نشان می‌دهد

تعداد سیزده پارامتر ورودی در مدل شبکه عصبی در ایستگاه قله‌ک ۵۴۰۰۰ و در ایستگاه تجریش با توجه به تعداد دوازده پارامتر ورودی در مدل شبکه عصبی ۵۰۰۰۰ دور در نظر گرفته شد. در جدول ۵ مقادیر شاخص‌های آماری حاصل از دو مرحله آموزش و آزمون شبکه عصبی با یک لایه پنهان و با الگوریتم‌های آموزش مختلف و در بهینه‌ترین حالت ارائه شده است.

۴.۳. مدل‌سازی با شبکه عصبی مصنوعی

پس از ایجاد مدل شبکه عصبی مصنوعی با داده‌های آموزش برای اعتبارسنجی مدل از داده‌های آزمون استفاده شد. همچنین، تعداد نورون لایه پنهان از طریق رابطه $(2n+1)$: تعداد ورودی) و بهترین تعداد نورون از طریق کمترین خطأ و بیشترین همبستگی بین متغیر هدف و مقادیر برآورده شده تعیین شد. تعداد دور بذای آموزش شبکه ۲۰۰۰ در نظر گرفته شد و در مجموع با توجه به

جدول ۵. نتایج حاصل از مراحل آموزش و آزمون شبکه عصبی در بهینه‌ترین حالت

ایستگاه تجریش				ایستگاه قله‌ک				مشخصات	
Rb	Seg	Lm	Rb	Seg	Lm	Rb	Seg	MSE	مشخصات
۱	۱	۱	۱	۱	۱	۱	۱		الگوریتم آموزش
۱۳	۲۴	۲۵	۱۲	۲۵	۲۰				تعداد لایه مخفی
									تعداد نورون
۰/۰۰۰۲۵	۰/۰۰۰۱۶	۰/۰۰۰۰۲۰	۰/۰۰۰۰۷۴	۰/۰۰۰۰۲۸	۰/۰۰۰۰۰۵				
۰/۰۱۶۰	۰/۰۱۲۶	۰/۰۰۴۴	۰/۰۲۷۲	۰/۰۱۶	۰/۰۰۶۸				
۰/۹۹۵۶	۰/۹۹۷۲	۰/۹۹۹۶	۰/۹۹۵۹	۰/۹۹۸۴	۰/۹۹۹۷۴				
۰/۹۹۱۳	۰/۹۹۴۵	۰/۹۹۹۳	۰/۹۹۱۸۹	۰/۹۹۶۸۶	۰/۹۹۹۴۹				
۰/۰۱۰۷	۰/۰۰۸۶	۰/۰۰۲۶	۰/۰۱۹۰	۰/۰۱۱۱	۰/۰۰۴۳				
.	.	.	۰/۰۰۴۱	۰/۰۰۱۸	۰/۰۰۰۱۳				
۰/۹۹۹۹	۰/۹۹۹	۱	۰/۹۹۹۹	۰/۹۹۹۹	۰/۹۹۹۹				
۰/۰۰۰۲۹	۰/۰۰۰۱۶	۰/۰۰۰۰۲۴	۰/۰۰۰۰۷۳	۰/۰۰۰۰۲۹	۰/۰۰۰۰۰۷				
۰/۰۱۷۲	۰/۰۱۲۷	۰/۰۰۴۸	۰/۰۲۷۰	۰/۰۱۷۱	۰/۰۰۸۲۵				
۰/۹۹۴۷	۰/۹۹۷۲	۰/۹۹۹۵	۰/۹۹۵۸	۰/۹۹۸۳	۰/۹۹۹۶۳				
۰/۹۸۹۰	۰/۹۹۴۴	۰/۹۹۹۱	۰/۹۹۱۶	۰/۹۹۶۷۸	۰/۹۹۹۲۵				
۰/۰۱۱۱	۰/۰۰۸۶	۰/۰۰۲۸	۰/۰۱۹۴	۰/۰۱۱۰	۰/۰۰۴۵۳				
.	۰/۰۰۰۱	.	۰/۰۰۶۳	۰/۰۲۵۴	۰/۴۷۴				
۰/۹۹۹۹	۰/۹۹۹	۱	۰/۹۹۹۹	۰/۹۹۹۹	۰/۹۹۹۹				

۳/۱۳۴ است که ۲۴/۱۰۹ درصد از کل واریانس موجود در سری داده‌ها را توجیه می‌کند. با توجه به جدول ۸ مقادیر ویژه چهار مؤلفه بعدی در ایستگاه قلهک نیز بزرگ‌تر از ۱ و به صورت جمعی با مؤلفه اول دارای واریانس تجمعی ۷۲/۱۳۶ درصد کل داده‌هاست. همچنین، مقدار اولین مؤلفه برابر ۳/۴۵۹ است که ۲۸/۸۲۷ درصد از کل واریانس موجود در سری داده‌ها را توجیه می‌کند. مقادیر ویژه سه مؤلفه بعدی در ایستگاه تجربی نیز بزرگ‌تر از ۱ و به صورت جمعی با مؤلفه اول دارای واریانس تجمعی ۶۵/۷۱۴ درصد کل داده‌هاست. بدین ترتیب، مؤلفه اول تا پنجم در ایستگاه قلهک و مؤلفه اول تا چهارم در ایستگاه تجربی مقادیر ویژه بزرگ‌تر از ۱ دارد. ضرایب بردارهای ویژه ایستگاه قلهک و ایستگاه تجربی در جدول ۹ آمده است. در جدول ۹ مقادیر بردارهای ویژه و ایجادکننده ضرایب هر یک از پارامترهای تشکیل‌دهنده هر مؤلفه بیانگر آن است که در مؤلفه اول ضرایب مربوط به متغیرهای CO , SO_2 و NO_2 مقادیر بیشتر و تأثیر بسزایی در تشکیل این مؤلفه دارد و با قلم پررنگ مشخص شده است. در مؤلفه دوم متغیرهای رطوبت و دمای هوای عوامل اصلی ایجاد این مؤلفه است. در مؤلفه سوم مقدار PM_{10} و فشار هوای عوامل اصلی ایجاد این مؤلفه است. همچنین، در تشکیل مؤلفه چهارم متغیرهای جهت باد، سرعت باد و O_3 و در مؤلفه پنجم متان و کل هیدروکربن‌ها عوامل اصلی تشکیل این مؤلفه است. در ایستگاه تجربی نیز مشاهده می‌شود که در مؤلفه اول ضرایب مربوط به متغیرهای PM_{10} , NO_2 , SO_2 و CO مقادیر بیشتری و تأثیر بسزایی در تشکیل این مؤلفه دارد و با قلم پررنگ مشخص شده است. در مؤلفه دوم متغیرهای کل هیدروکربن‌ها و هیدروکربن‌های بدون متان عوامل اصلی ایجاد این مؤلفه است. در مؤلفه سوم مقدار رطوبت، دمای هوای و سرعت باد عوامل اصلی ایجاد این مؤلفه است. همچنین، در تشکیل مؤلفه چهارم متغیرهای جهت باد و فشار هوای عوامل اصلی تشکیل این مؤلفه است.

با روش سعی و خطاب مشخص شد که شبکه عصبی مصنوعی پرسپترون با یک لایه پنهان و الگوریتم آموزش لونبرگ مارکوارت با بیست نورون در لایه پنهان در ایستگاه قلهک و ۲۵ نورون در ایستگاه تجربی بهترین عملکرد را برای برآورد و مدل‌سازی شاخص کیفیت هوا به دست می‌دهد. همچنین، یک شبکه عصبی پرسپترون با ۲۵ نورون در لایه پنهان در ایستگاه قلهک و ۲۴ نورون در ایستگاه تجربی و الگوریتم شبیه توان مقیاس شده نسبت به شبکه عصبی پرسپترون با الگوریتم آموزش پس انتشار ارجاعی عملکرد بهتری داشت.

۵.۳ مدل‌سازی با رگرسیون مؤلفه‌های اصلی و رگرسیون چندگانه

۱.۱.۵.۳ اجرای روش PCA در پیش‌پردازش داده‌های ورودی

بررسی اولیه نشان داد که بین متغیرهای ورودی مورد استفاده در ایستگاه قلهک و تجربی همبستگی معناداری وجود دارد. برای ازین بردن این مشکل، از روش تحلیل مؤلفه‌های اصلی استفاده شد. برای بررسی امکان اجرای تحلیل مؤلفه‌های اصلی از آزمون KMO استفاده شد. مقدار $KMO = 0/581$ در ایستگاه قلهک و $KMO = 0/606$ در ایستگاه تجربی امکان اجرای روش PCA را تأیید کرد. برای اجرای این روش، پس از استاندارد کردن متغیرهای ورودی ماتریس همبستگی تشکیل شد (جدول ۶ و ۷). با حل دستگاه معادله (۷)، سیزده مقدار ویژه و بهازای هر مقدار ویژه سیزده بردار ویژه برای ایستگاه قلهک و دوازده مقدار ویژه و بهازای هر مقدار ویژه دوازده بردار ویژه برای ایستگاه تجربی حاصل شد که با استفاده از آن‌ها، مؤلفه‌های اصلی از متغیرهای اولیه به دست آمد. مقدار عددی هر مؤلفه با تقسیم مقادیر ویژه به دست آمد. درصد پراکندگی تعداد متغیرهای مورد استفاده به دست آمد. درصد پراکندگی نیز از تقسیم مقدار عددی هر مؤلفه بر تعداد متغیرهای مورد استفاده محاسبه شد. مشخصات هر مؤلفه در جدول ۸ آمده است. مقدار اولین مؤلفه در ایستگاه قلهک برابر

جدول ۶. ماتریس همبستگی بین متغیرهای ورودی روش PCA داده‌های ایستگاه قلهک

جدول ۷. ماتریس همبستگی بین متغیرهای ورودی روش PCA داده‌های ایستگاه تجریش

جدول ۸. مشخصات مؤلفه‌های ایجادشده با روش PCA

ایستگاه تجربیش			ایستگاه قلهک			
واریانس	درصد	واریانس	درصد	واریانس	مقادیر ویژه	مؤلفه‌ها
تجمعی	واریانس	مقادیر ویژه	تجمعی	واریانس	مقادیر ویژه	
۲۸/۸۲۷	۲۸/۸۲۷	۳/۴۵۹	۲۴/۱۰۹	۲۴/۱۰۹	۳/۱۳۴	۱
۴۳/۲۰۳	۱۴/۳۷۶	۱/۷۲۵	۳۹/۹۲۳	۱۵/۸۱۴	۲/۰۵۶	۲
۵۶/۰۵۸	۱۲/۸۵۵	۱/۵۴۳	۵۲/۷۴۴	۱۲/۸۲۱	۱/۶۸۷	۳
۶۵/۷۱۴	۹/۶۵۶	۱/۱۰۹	۶۴/۲۸۸	۱۱/۵۴۳	۱/۵۰۱	۴
۷۳/۹۲۸	۸/۲۱۴	۰/۹۸۶	۷۲/۱۳۶	۷/۸۴۸	۱/۰۲	۵
۸۱/۲۵۴	۷/۳۲۶	۰/۸۷۹	۷۹/۲۰۸	۷/۰۷۳	۰/۹۱۹	۶
۸۷/۳۵۲	۶/۰۹۷	۰/۷۳۲	۸۴/۲۵	۵/۰۴۱	۰/۶۰۵	۷
۹۲/۴۶۱	۵/۱۱	۰/۶۱۳	۸۸/۵۷۲	۴/۳۲۲	۰/۵۶۲	۸
۹۵/۸۱	۳/۳۴۹	۰/۴۰۲	۹۲/۵۴۱	۳/۹۶۹	۰/۵۱۶	۹
۹۸/۵۴۱	۲/۷۳۱	۰/۳۲۸	۹۶/۰۳۸	۳/۴۹۶	۰/۴۰۰	۱۰
۹۹/۴۰۵	۰/۸۶۴	۰/۱۰۴	۹۷/۹۳۹	۱/۹۰۱	۰/۲۴۷	۱۱
۱۰۰	۰/۰۹۵	۰/۰۷۱	۹۹/۵۳۵	۱/۵۹۶	۰/۲۰۷	۱۲
			۱۰۰	۰/۴۶۵	۰/۰۶	۱۳

جدول ۹. ضرایب بردارهای ویژه برای ایجاد مؤلفه اصلی

مؤلفه‌های اصلی												
ایستگاه تجربیش						ایستگاه قلهک						
۴	۳	۲	۱	پارامترها	۵	۴	۳	۲	۱	پارامترها		
-۰/۰۶۷	-۰/۲۰۶	۰/۱۷۲	۰/۰۵۳۶	PM ₁₀	۰/۲۵۳	۰/۰۲۲۳	۰/۰۵۱	-۰/۱۹۹	-۰/۱۴۲	PM ₁₀		
۰/۱۱۷	۰/۱۱۴	-۰/۰۷۱	۰/۸۲۴	NO ₂	-۰/۰۰۳	-۰/۰۰۵۳	۰/۰۴۴	۰/۲۶۹	۰/۹۲۱	NO ₂		
-۰/۱۲۸	-۰/۲۰۶	-۰/۱۹	۰/۶۲۳	SO ₂	-۰/۰۸۶	-۰/۰۰۵۴	۰/۸۰۶	۰/۱۲۷	۰/۲۰۳	SO ₂		
-۰/۱۱۸	۰/۱۴۱	۰/۳۴۴	۰/۷۳۴	CO	۰/۲۲۷	-۰/۰۱۵۸	-۰/۰۱۸	-۰/۱۶۲	۰/۷۳۱	CO		
۰/۰۸۴	-۰/۲۲۶	-۰/۰۷۳	۰/۸۶۵	NOx	-۰/۱۳۴	۰/۷۰۶	۰/۰۳۵	-۰/۲۶۰	-۰/۱۶۷	O ₃		
-۰/۰۶۷	۰/۱۷۷	۰/۹۳۴	۰/۰۱۲	THC	۰/۰۰۸	-۰/۰۹۰	۰/۰۱۹	۰/۱۵۱	۰/۹۱۲	NO		
-۰/۰۴۳	۰/۰۰۳	۰/۹۴۵	۰/۲۲۵	NMHC	۰/۶۹۵	-۰/۱۸۴	۰/۳۳۶	۰/۲۴۱	۰/۱۴۷	CH ₄		
-۰/۰۲۳	-۰/۸۶	-۰/۰۳۵	-۰/۱۵۸	HUM	۰/۹۱۱	-۰/۱۳۶	-۰/۰۱۴	-۰/۱۲۸	۰/۰۹۴	THC		
۰/۶۹۱	-۰/۰۶۴	-۰/۰۶۸	-۰/۱۳۶	Press	۰/۰۵۸	-۰/۱۴۸	-۰/۰۲۰۰	۰/۸۳۴	۰/۰۰۰	HUM		
-۰/۱۴۷	-۰/۸۱۴	-۰/۰۵۴	-۰/۱۵	Temp	۰/۰۴۱	-۰/۰۳۸	۰/۷۸۸	-۰/۰۹۷	-۰/۰۵۰	Press		
۰/۷۸۷	-۰/۰۶	-۰/۰۶۵	-۰/۱۶۵	WD	۰/۰۴۳	-۰/۰۲۸	-۰/۰۱۰۰	-۰/۰۹۸	-۰/۱۸۷	Temp		
-۰/۱۶۱	-۰/۰۵۳۲	-۰/۱۶۵	-۰/۰۱۶	WS	۰/۲۷۲	۰/۰۵۰۲	۰/۰۳۰۵	۰/۱۵۸	-۰/۲۹۵	WD		
					-۰/۲۳۸	۰/۸۲۲	-۰/۰۱۰۶	۰/۰۲۸	۰/۰۰۰	WS		

۲.۰.۵.۳ مدل رگرسیون مبتنی بر مؤلفه‌های اصلی و رگرسیون چندگانه

برآورده مقدار شاخص کیفیت هوا بسط یافت. نتایج ورود مؤلفه‌های اصلی به مدل رگرسیون ایستگاه قلهک در جدول ۱۰ و ایستگاه تجربی در جدول ۱۱ آمده است. پنج مؤلفه ایجادشده در ایستگاه قلهک و چهار مؤلفه ایستگاه تجربی درودی مدل رگرسیون استفاده شد. نتایج ارزیابی مدل رگرسیون مؤلفه‌های اصلی در جدول ۱۲ آمده است. در جدول ۱۴ نتایج ورود تمامی متغیرهای هواشناسی و آلودگی هوا به مدل رگرسیون ارائه شده است. در جدول ۱۳ نتایج ارزیابی مدل رگرسیون چندگانه آمده است. نتایج ارزیابی مدل‌ها نشان می‌دهد که مدل رگرسیونی ایجادشده توسط تمامی پارامترهای هواشناسی و آلودگی هوا نسبت به مدل ایجادشده توسط مؤلفه‌های اصلی در برآورد مقدار شاخص کیفیت هوا عملکرد بهتری دارد. در معادله (۱۹) مدل رگرسیون مؤلفه‌های اصلی برآورده‌گر AQI و در معادله (۲۰) مدل رگرسیون چندگانه ایستگاه قلهک ارائه شده است. همچنین، در معادله (۲۱) مدل رگرسیون مؤلفه‌های اصلی برآورده‌گر AQI و در معادله (۲۲) مدل رگرسیون چندگانه ایستگاه تجربی ارائه شده است.

به منظور توسعه مدل رگرسیون مؤلفه‌های اصلی، پنج مؤلفه ایجادشده ایستگاه قلهک و چهار مؤلفه ایجادشده ایستگاه تجربی درودی مدل رگرسیون استفاده شد. از آزمون دوربین-واتسون به منظور بررسی پیش‌فرض نرمال‌بودن توزیع خطای باقیمانده‌های مدل رگرسیون استفاده شد. در صورتی که مقدار آین آماره بین عدد ۱/۵ تا ۲/۵ باشد، نشان‌دهنده نرمال بودن توزیع خطاست. در مدل رگرسیون ایستگاه قلهک مقدار این آماره ۲/۰۰۷۹ و در مدل ایستگاه تجربی ۱/۹۹ به دست آمد که نشان از نرمال‌بودن توزیع خطداشت. در بررسی پیش‌فرض عدم‌هم‌خطی (استقلال خطاهای) از آماره تورم واریانس استفاده شد که مقدار ایده‌آل آن ۱ و مقادیر بیشتر از ۱۰ نشان‌دهنده مشکل‌ساز بودن هم‌خطی بین متغیرهای مستقل در مدل رگرسیون است. با استفاده از روش PCA مشکل همبستگی بین متغیرهای مستقل نیز رفع شد. پس از تأیید نرمال‌بودن توزیع مقادیر خط و رفع مشکل همبستگی در متغیرهای مستقل، مدلی مناسب با استفاده از روش رگرسیون خطی چندگانه برای

جدول ۱۰. نتایج ورود مؤلفه‌های اصلی به مدل رگرسیون چندگانه ایستگاه قلهک

مؤلفه‌ها	ضرایب	فاکتور تورم واریانس	سطح معناداری
(Constant)	۶۳/۷۴-	—	.
PC1	۹/۸۹	۱/۱۰	.
PC2	۰/۲۰	۱/۰۴	.
PC3	۰/۱۹	۱/۱۵	.
PC4	۰/۰۹۴-	۱/۱۲	.
PC5	۱/۰۹-	۱/۰۹	.

جدول ۱۱. نتایج ورود مؤلفه‌های اصلی به مدل رگرسیون چندگانه ایستگاه تجربی

مؤلفه‌ها	ضرایب	فاکتور تورم واریانس	سطح معناداری
(Constant)	۲۸/۲۳	—	.
PC1	۰/۹۳۳	۱/۰۴	.
PC2	۰/۲۴۱۵	۱/۰۵	.
PC3	۰/۰۳۳۶	۱/۰۲	.
PC4	۰/۰۰۸۸-	۱/۰۱	.

جدول ۱۲. نتایج ارزیابی مدل رگرسیون مؤلفه‌های اصلی

ایستگاه	IA (1)	FB (0)	R ² (1)	R (1)	MAE (0)	RMSE (0)	MSE (0)	مدل PCR
قله‌ک	۱	۰	۰/۴۰۰۹	۰/۶۳۳۲	۱۵/۳۸	۱۹/۳۸	۳۷۵/۷۲	مرحله آموزش
	۰/۹	۰/۰۰۳-	۰/۳۹۶۶	۰/۶۲۹۸	۱۵/۵۵	۱۹/۵۵	۳۸۲/۲۸	مرحله آزمون
	۱	۰	۰/۸۸۸۴	۰/۹۴۲۵	۵/۷	۱۱/۱۲	۱۲۵/۷	مرحله آموزش
	۱	۰/۰۰۳-	۰/۸۹۲۴	۰/۹۴۴۷	۵/۵	۱۰/۷	۱۱۵/۳	مرحله آزمون
تجربی								

جدول ۱۳. نتایج ارزیابی مدل رگرسیون چندگانه

ایستگاه	IA (1)	FB (0)	R ² (1)	R (1)	MAE (0)	RMSE (0)	MSE (0)	مدل MLR
قله‌ک	۱	۰	۰/۸۱۱۲	۰/۹۰۰۷	۸/۷۴	۱۰/۸۶	۱۱۷/۹۷	مرحله آموزش
	۱	۰/۰۰۱-	۰/۸۱۹۰	۰/۹۰۵۰	۸/۶۹	۱۰/۷۷	۱۱۶/۱۷	مرحله آزمون
	۱	۰	۰/۹۰۲۱	۰/۹۴۹۸	۵/۷	۱۰/۵	۱۱۱/۲	مرحله آموزش
	۱	۰/۰۰۲	۰/۸۹۵۰	۰/۹۴۶۰	۵/۷	۱۰/۴	۱۰۹/۱	مرحله آزمون

جدول ۱۴. نتایج ورود تمامی متغیرها به مدل رگرسیون چندگانه

ایستگاه تجربی				ایستگاه قله‌ک			
سطح معناداری	متغیرها	ضرایب	فاکتور	سطح معناداری	متغیرها	ضرایب	ایستگاه قله‌ک
تورم واریانس	تورم واریانس	تورم واریانس	تورم واریانس	تورم واریانس	تورم واریانس	تورم واریانس	ایستگاه قله‌ک
.	-----	۲۶/۶۵	(Constant)	.	-----	۲۳/۴۷	(Constant)
.	۱/۲۱	۰/۴۸	PM ₁₀	.	۱/۴۰	۰/۲۲۴	PM ₁₀
.	۴/۵۲	۱۱۱/۹۲	NO ₂	.	۹/۴۰	۲۵۷/۳۱	NO ₂
.	۱/۴۹	۱۶۰/۵-	SO ₂	.	۱/۶۹	۴۳/۲۹	SO ₂
.	۳/۲۲	۱/۶۶	CO	.	۱/۸۴	۰/۱۷۸	CO
.	۵/۸۰	۳۸/۳۰-	NOx	۰/۰۱۴	۱/۵۱	۰/۳۴	O ₃
۰/۷۴۲	۵/۷۹	۰/۰۲۱	THC	۰/۰۹	۷/۶۷	۲۸/۹۹	NO
۰/۲۴	۷/۴۳	۰/۲-	NMHC	.	۲/۴۲	۰/۳۶۸-	CH ₄
.	۱/۹۵	۰/۰۴۷	HUM	.	۲/۱۷	۰/۶۲۵-	THC
.	۱/۰۶	۰/۰۰۸-	Press	.	۱/۹۶	۰/۰۵۲۹-	HUM
.	۱/۸۷	۰/۰۲۳	Temp	.	۱/۴۰	۰/۰۳۴۴	Press
۰/۰۱۸	۱/۱۲	۰/۰۰۲-	WD	.	۲/۶۸	۰/۰۸۷-	Temp
.	۱/۲۰	۰/۹۰	WS	.	۱/۲۹	۰/۰۳۳-	WD
				.	۱/۲۱	۰/۰۲۱-	WS

$$\text{AQI} = -63/74 + 9/89 \times PC_1 + /2 \times PC_2 + /19 \times PC_3 - /094 \times PC_4 - 1/09 \times PC_5 \quad (19)$$

$$\text{AQI} = 23/47 + /224 \times PM_{10} + 257/3 \times NO_2 + 43/29 \times SO_2 + /178 \times CO + 5/34 \times O_3 + \quad (20)$$

$$28/99 \times NO - /368 \times CH_4 - /625 \times THC - /0529 \times HUM + /0344 \times Press - /087 \times Temp - /033 \times WD - /021 \times WS$$

$$\text{AQI} = 28/23 + /933 \times PC_1 + /2415 \times PC_2 + /0336 \times PC_3 - /0088 \times PC_4 \quad (21)$$

$$\text{AQI} = 26/65 + /48 \times PM_{10} + 111/92 \times NO_2 - 160/5 \times SO_2 + 1/66 \times CO - 38/30 \times NOx + \quad (22)$$

$$/021 \times THC - /2 \times NMHC + /047 \times HUM - /008 \times Press - /023 \times Temp - /002 \times WD + 0/9 \times WS$$

۴. بحث Carbajal et al. (2011) و Sing et al. (2013) مطابقت

دارد و نتایج بهتری نسبت به مدل‌های رگرسیون خطی حاصل شده است. مقدار آماره‌های خطا نظیر RMSE و MAE شبکه عصبی مصنوعی پرسپترون در بهینه‌ترین حالت در مرحله آموزش بهترین ترتیب در ایستگاه تجریش برابر ۰/۰۰۴۸ و در مرحله آزمون بهترین ترتیب ۰/۰۰۴۶ و ۰/۰۰۴۴ و ۰/۰۰۲۶ و در مرحله آزمون ۰/۰۰۴۳ و ۰/۰۰۴۵ و مقدار آماره‌های خطا نظیر RMSE و MAE در مرحله آموزش بهترین ترتیب در ایستگاه قلهک برابر ۰/۰۰۶۸ و ۰/۰۰۴۳ و در مرحله آزمون بهترین ۰/۰۰۸۲ و ۰/۰۰۴۵ است. مقایسه این آماره‌ها در دو ایستگاه نشان می‌دهد که مدل شبکه عصبی مصنوعی در ایستگاه تجریش نسبت به مدل شبکه عصبی مصنوعی در ایستگاه قلهک عملکرد بهتری دارد.

آماره‌های ضریب همبستگی R و ضریب تبیین R^2 در هر دو ایستگاه در مرحله آموزش برای ایستگاه تجریش برابر ۰/۹۹۹۹ و ۰/۹۹۹۸ و در مرحله آزمون ۰/۹۹۹۸ و ۰/۹۹۹۶ و در ایستگاه قلهک بهترین ترتیب در مرحله آموزش برابر ۰/۹۹۹۹ و ۰/۹۹۹۹ و در مرحله آزمون ۰/۹۹۹۶ و ۰/۹۹۹۱ و در ایستگاه قلهک بهترین ترتیب در مرحله آموزش برابر ۰/۹۹۹۷ و ۰/۹۹۹۴ و در مرحله آزمون ۰/۹۹۹۶ و ۰/۹۹۹۲ است. معیارهای همبستگی نشان از این دارد که بین مقادیر برآورده شده مدل و محاسبه شده کیفیت هوا در مدل شبکه عصبی در ایستگاه قلهک نسبت به مدل شبکه عصبی در ایستگاه تجریش همبستگی بیشتری است و این اختلاف بسیار ناچیز و ۰/۰۰۰۱ است.

آماره‌های ضریب همبستگی R و ضریب تبیین R^2 در هر دو مدل نزدیک به عدد ۱ است که نشان از توانایی

مقدار آماره‌های خطا نظیر RMSE و MAE مدل رگرسیون درخت تصمیم در بهینه‌ترین حالت در مرحله آموزش بهترین ترتیب در ایستگاه تجریش برابر ۰/۴۴۲۸ و ۰/۱۱۵۷ و در مرحله آزمون بهترین ترتیب ۰/۰۶۸۸۸ و ۰/۱۹۵۱ و مقدار آماره‌های خطا نظیر RMSE و MAE در مرحله آموزش بهترین ترتیب در ایستگاه قلهک برابر ۰/۲۵۹۳ و ۰/۰۴۰۸ و در مرحله آزمون بهترین ترتیب ۰/۰۷۵ و ۰/۱۰۱۲ است. مقایسه این آماره‌ها در دو ایستگاه نشان می‌دهد که مدل درخت تصمیم در ایستگاه قلهک نسبت به مدل درخت تصمیم در ایستگاه تجریش عملکرد بهتری دارد.

آماره‌های ضریب همبستگی R و ضریب تبیین R^2 در هر دو ایستگاه در مرحله آموزش برای ایستگاه تجریش برابر ۰/۹۹۹۸ و ۰/۹۹۹۷ و در مرحله آزمون ۰/۹۹۹۸ و ۰/۹۹۹۶ و در ایستگاه قلهک بهترین ترتیب در مرحله آموزش برابر ۰/۹۹۹۹ و ۰/۹۹۹۹ و در مرحله آزمون ۰/۹۹۹۶ و ۰/۹۹۹۱ است. معیارهای همبستگی نشان از این دارد که بین مقادیر برآورده شده مدل و محاسبه شده کیفیت هوا در مدل درخت تصمیم در هر دو ایستگاه اختلاف بسیار ناچیز است. آماره‌های ضریب همبستگی R و ضریب تبیین R^2 در هر دو مدل نزدیک به عدد ۱ است که نشان از توانایی بالای مدل درخت تصمیم رگرسیون در برآورد شاخص کیفیت هوای شهری دارد.

نتایج حاصل از مدل درخت تصمیم رگرسیون با تحقیقات قبلی نظری Kumar & Goyal (2013, 2011)

آماره‌های ضریب همبستگی R هر دو ایستگاه در مرحله آموزش در ایستگاه تجربیش برابر ۰/۹۴۹۸ و در مرحله آزمون ۰/۹۴۶۰ و در ایستگاه قله‌ک به ترتیب در مرحله آموزش برابر ۰/۹۰۰۷ و در مرحله آزمون ۰/۹۰۵۰ است. معیار ضریب همبستگی نشان از این دارد که بین مقادیر برآورده شده مدل و محاسبه شده کیفیت هوا در مدل ایستگاه تجربیش نسبت به مدل ایستگاه قله‌ک همبستگی بیشتری وجود دارد. در نتیجه، مدل MLR ایستگاه تجربیش نسبت به مدل PCR ایستگاه قله‌ک عملکرد بهتری دارد. در نهایت، با توجه به مطالعه فوق مشخص است که مدل MLR ایستگاه تجربیش با دوازده ورودی نسبت به مدل PCR ایستگاه تجربیش و مدل MLR و مدل PCR ایستگاه قله‌ک عملکرد بهتری دارد. همچنین، مشخص است که مدل PCR ایستگاه تجربیش نسبت به مدل ایستگاه قله‌ک در برآورد شاخص کیفیت هوا عملکرد بهتری دارد. نتایج حاصل از مدل رگرسیون خطی با تحقیقات قبلی نظری Sing et al. (2013; Kumar & Goyal (2013, 2011), Voukantsis et al. (2011, 2012), و صدرموسوی و رحیمی (۱۳۸۷) مطابقت داشت و استفاده از تحلیل مؤلفه‌های اصلی باعث کاهش تعداد متغیرهای ورودی به مدل رگرسیون شد. همچنین، باعث حذف همبستگی بین متغیرهای ورودی به مدل و تفسیر آسان‌تر مدل رگرسیون خطی شد.

۵. نتیجه‌گیری

نتایج ارزیابی تمامی مدل‌های مورد استفاده در مدل‌سازی و برآورد شاخص کیفیت هوا ایستگاه تجربیش و قله‌ک نشان داد که مدل شبکه عصبی مصنوعی با الگوریتم آموزش لونبرگ مارکوارت بهترین عملکرد را نسبت به دیگر مدل‌ها در هر دو ایستگاه از خود نشان داد. ضعیف‌ترین عملکرد مربوط به مدل رگرسیون مؤلفه‌های اصلی است. در این تحقیق، مطالعه در سطح دو ایستگاه پایش کیفیت هوا انجام شد. به دلیل اهمیت بسیار زیاد موضوع کیفیت هوا در شهرهای آلوده نظیر تهران پیشنهاد

بالای مدل شبکه عصبی مصنوعی در برآورد شاخص کیفیت هوای شهری در دو ایستگاه مورد مطالعه دارد. نتایج حاصل از مدل شبکه عصبی مصنوعی با تحقیقات قبلی Sing et al. (2008), Kurt et al. (2012), Kumar and Goyal (2013, 2011) Russo et al. (2013) و Carbajal et al. (2011) رگرسیون خطی داراست. مقدار آماره‌های خطای نظری MAE و RMSE و رگرسیون مؤلفه‌های اصلی در مرحله آموزش به ترتیب در ایستگاه تجربیش برابر ۱۱/۱۲ و ۵/۷ و در مرحله آزمون به ترتیب ۱۰/۷ و ۵/۵ و مقدار آماره‌های خطای نظری RMSE و MAE در مرحله آموزش به ترتیب در ایستگاه قله‌ک برابر ۱۹/۳۸ و ۱۵/۳۸ و در مرحله آزمون به ترتیب ۱۹/۵۵ و ۱۵/۵۵ است. مقایسه این آماره‌ها در دو ایستگاه نشان می‌دهد که مدل PCR در ایستگاه تجربیش نسبت به مدل PCR در ایستگاه قله‌ک عملکرد بهتری دارد. آماره‌های ضریب همبستگی R هر دو ایستگاه در مرحله آموزش در ایستگاه تجربیش برابر ۰/۹۴۲۵ و در مرحله آزمون ۰/۹۴۴۷ است. در ایستگاه قله‌ک به ترتیب در مرحله آموزش برابر ۰/۶۳۳۲ و در مرحله آزمون ۰/۶۲۹۸ است. معیار ضریب همبستگی نشان از این دارد که بین مقادیر برآورده شده مدل و محاسبه شده کیفیت هوا در مدل ایستگاه تجربیش نسبت به مدل ایستگاه قله‌ک همبستگی بیشتری وجود دارد. در نتیجه، مدل MLR ایستگاه تجربیش نسبت به مدل PCR ایستگاه قله‌ک عملکرد بهتری دارد. مقدار آماره‌های خطای نظری MAE و RMSE و رگرسیون خطی چندگانه در مرحله آموزش به ترتیب در ایستگاه تجربیش برابر ۱۰/۵ و ۵/۷ و در مرحله آزمون به ترتیب ۱۰/۴ و ۵/۷ و مقدار آماره‌های خطای نظری MAE و RMSE در مرحله آموزش به ترتیب در ایستگاه قله‌ک برابر ۱۰/۸۶ و ۸/۷۴ در مرحله آزمون به ترتیب ۱۰/۷۷ و ۸/۶۹ است. مقایسه این آماره‌ها در دو ایستگاه نشان می‌دهد که مدل MLR در ایستگاه تجربیش نسبت به مدل MLR در ایستگاه قله‌ک عملکرد بهتری دارد.

تشکر و قدردانی

بدین‌وسیله از سازمان حفاظت محیط‌زیست به‌دلیل در اختیار گذاشتن داده‌های تحقیق تشکر و قدردانی می‌نماییم.

یادداشت‌ها

1. United States Environmental Protection Agency
2. Air Quality Index
3. Artificial Neural Network
4. Decision Trees
5. Principal Component Analysis
6. Fuzzy Inference System
7. Autoregressive
8. Multiple Liner Regression
9. Ensemble Learning
10. Back propagation
11. Kaiser-Meyer-Olkin
12. Varimax

می‌شود در تحقیقات مشابه آتی مطالعه در سطح بسیار گسترده‌تر انجام شود و برای درک بهتر موضوع کیفیت هوا در نقاط بسیار آلوهه سطح شهر نقشه‌های پهن‌بندی کیفیت هوا از طریق روش‌های زمین‌آمار و مدل‌های برآورده‌گر کیفیت هوا نظیر شبکه عصبی مصنوعی و درخت تصمیم در نرم‌افزار سامانه اطلاعات جغرافیایی (GIS) تولید شود. دستاوردهای این تحقیق حاکی از آن است که مدل‌های مورد استفاده روش‌هایی مناسب برای ارزیابی کیفیت هوای ایستگاه‌های مورد مطالعه است و ابزاری برای پژوهشگران و برنامه‌ریزان شهری جهت آگاهی از کیفیت هوا و اتخاذ تدابیر کنترلی در کاهش و پیشگیری از آلوهه هوا شهری و اطلاع‌رسانی کیفیت و درجه سلامت هوای تنفسی به عموم مردم در مناطق آلوهه شهری محسوب می‌شود.

منابع

امیدوار، ک. شفیعی، ش. تقی‌زاده، ز. ۱۳۹۳. «ارزیابی کارایی مدل درخت تصمیم در پیش‌بینی بارش ایستگاه سینوپتیک کرمانشاه». نشریه تحقیقات کاربردی علوم جغرافیایی، شماره ۳۴، ۸۹-۱۱۰.

خراعی، ا. آل‌شیخ، ع. کریمی، م. وحیدنیا، م. ۱۳۹۱. «پیش‌بینی و مدل‌سازی غلظت آلاینده مونوکسیدکربن با تلفیق شبکه عصبی-فازی تطبیقی و سیستم اطلاعات جغرافیایی». مجله سنجش از دور و سامانه اطلاعات جغرافیایی در منابع طبیعی (کاربرد سنجش از دور و GIS در علوم منابع طبیعی). شماره ۳، ۲۱-۳۳.

صدرموسوی، م. رحیمی، ا. ۱۳۸۹. «مقایسه نتایج شبکه‌های عصبی پرسپکترون چندلایه با رگرسیون چندگانه در پیش‌بینی غلظت ازن در شهر تبریز». مجله پژوهش‌های جغرافیای طبیعی، شماره ۷۱، ۶۵-۷۲.

نوری، ر. اشرفی، خ. اژدرپور، ا. ۱۳۸۷. «مقایسه کاربرد روش‌های شبکه عصبی مصنوعی و رگرسیون خطی چندمتغیره بر اساس تحلیل مؤلفه‌های اصلی برای پیش‌بینی غلظت میانگین روزانه کربن مونوکسید: بررسی موردی شهر تهران». مجله فیزیک زمین و فضا، شماره ۳۴، ۱۳۵-۱۵۲.

Abdul-Wahab, S.A. Bakheit, C.S., Al-Alawi, S. M. 2005. "Principal component and multiple regression analysis in modelling of ground-level ozone and factors affecting its concentrations". Environmental Modelling & Software, 20(10):1263-1271.

Breiman, L. Friedman, J.H. Olshen, R. Stone, C. 1993. *Classification and regression trees*. New York: Chapman & Hall.

Çamdevyren, H. Demýr, N. Kanik, A. Keskýn, S. 2005. "Use of principal component scores in multiple linear regression models for prediction of Chlorophyll-a in reservoirs". Ecological Modelling. 181(4): 581-589.

Carbajal-Hernández, J.J. Sánchez-Fernández, L.P. Carrasco-Ochoa, J.A. Martínez-Trinidad, J.F. 2012. "Assessment and prediction of air quality using fuzzy logic and autoregressive models". Atmospheric Environment. 60:37-50.

- Chatterjee, S. Hadi, A.S. 2015. *Regression analysis by example*: John Wiley & Sons.
- Cheng, W.L., Chen, Y.S. Zhang, J. Lyons, T. Pai, J.L. Chang, S.H. 2007. "Comparison of the revised air quality index with the PSI and AQI indices". *Science of the total environment*. 382 (2):191-198.
- Fausett, L. 1994. *Fundamentals of neural networks: architectures, algorithms, and applications*: Prentice-Hall, Inc.
- Jolliffe, I. 2002. *Principal component analysis*: Wiley Online Library.
- Kumar, A. Goyal, P. 2013. "Forecasting of air quality index in Delhi using neural network based on principal component analysis". *Pure and Applied Geophysics*. 170 (4), 711-711.
- Kumar, A. Goyal, P. 2011. "Forecasting of air quality index in Delhi using principal component regression technique". *Atmospheric Pollution Research*, 2:436-444.
- Lee, C.C. Ballinger, T.J. Domino, N.A. 2012. "Utilizing map pattern classification and surface weather typing to relate climate to the Air Quality Index in Cleveland, Ohio". *Atmospheric Environment*. 63:50-59.
- Li, L. Qian, J. Ou, C.Q. Zhou, Y.X. Guo, C. Guo, Y. 2014. "Spatial and temporal analysis of Air Pollution Index and its timescale-dependent relationship with meteorological factors in Guangzhou, China, 2001–2011". *Environmental Pollution*. 190:75-81.
- Moustris, K. Nastos, P. Larissi, I. Paliatsos, A. 2012. "Application of multiple linear regression models and artificial neural networks on the surface ozone forecast in the greater Athens area, Greece". *Advances in Meteorology*.
- Rawlings, J.O. Pantula, S.G. Dickey, D.A. 1998. *Applied regression analysis: a research tool*: Springer Science & Business Media.
- Russo, A. Raischel, F. Lind, P.G. 2013. "Air quality prediction using optimal neural networks with stochastic variables". *Atmospheric Environment*. 79:822-830.
- Singh, K.P. Gupta, S. Rai, P. 2013. "Identifying pollution sources and predicting urban air quality using ensemble learning methods". *Atmospheric Environment*. 80:426-437.
- Singh, K.P. Gupta, S. Kumar, A. Shukla, S.P. 2012. "Linear and nonlinear modeling approaches for urban air quality prediction". *Science of the Total Environment*, 426:244-255.
- Sowlat, M.H. Gharibi, H. Yunesian, M. Tayefeh Mahmoudi, M. Lotfi, S. 2011. "A novel, fuzzy-based air quality index (FAQI) for air quality assessment". *Atmospheric Environment*. 45 (12):2050-2059.
- Yadav, D. Naresh, V.S. 2010. "Artificial Neural Network based Hydro Electric Generation Modelling". *International Journal of Applied Engineering Research*. 1(3):343.
- Zhang, Y. Bocquet, M. Mallet, V. Seigneur, C. Baklanov, A. 2012. "Real-time air quality forecasting, part I: History, techniques, and current status". *Atmospheric Environment*, 60:632-655.